

Tento výukový materiál je autorským dílem, které je chráněno autorským právem VŠCHT Praha.

Některé části přednášky vycházejí z autorských děl třetích osob, která VŠCHT Praha užívá pro účely výuky svých studentů na základě zákonné licence.

Obsah této přednášky je určen výlučně pro výuku studentů VŠCHT Praha.

Obsah přednášky nesmí být rozmnožován, zaznamenáván, napodobován, publikován ani jinak rozšiřován bez písemného souhlasu majitele autorských práv.

Autorské právo neporušuje ten student VŠCHT Praha, který výlučně pro svou osobní potřebu zhotoví záznam či napodobeninu díla nebo užije dílo jiným způsobem, který dle zákona autorské právo neporušuje.

© VŠCHT Praha 2020



Nové trendy v kontrole potravin

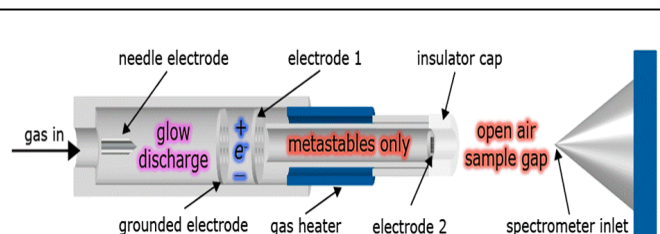
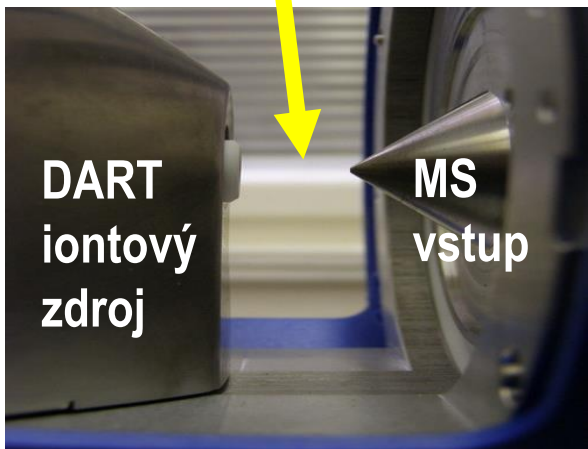
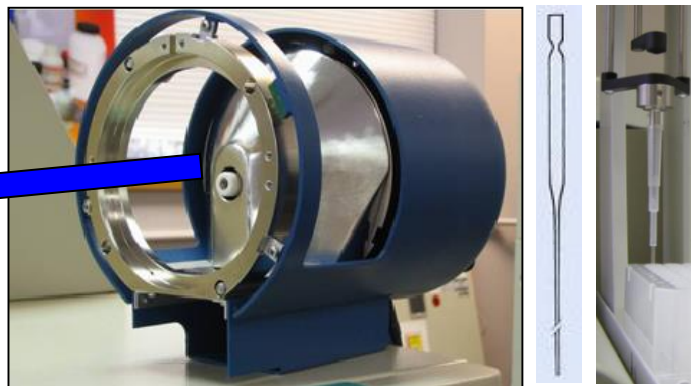
- Rychlá instrumentální analýza s minimální přípravou vzorku
- Primárně necílená analýza – sledování profilů
- Cílená analýza zaměřená na očekávané (objevené) sloučeniny

Možnosti moderních metod

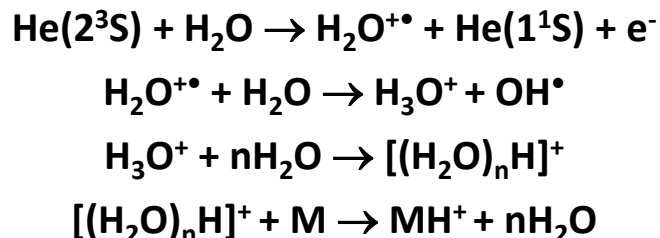
- Identifikace neočekávaných sloučenin
- Retrospektivní analýza již naměřených dat
- Komplexní interpretační informace
 - složení, původ, dodržení technologie, falšování
- Zatím se nejedná o oficiální/normované metody



PŘÍMÁ MS → DART (DIRECT ANALYSIS IN REAL TIME)



Penningova ionizace



Rychlé měření

- vteřinová analýza

Vyhodnocení

Identifikace: přesná m/z

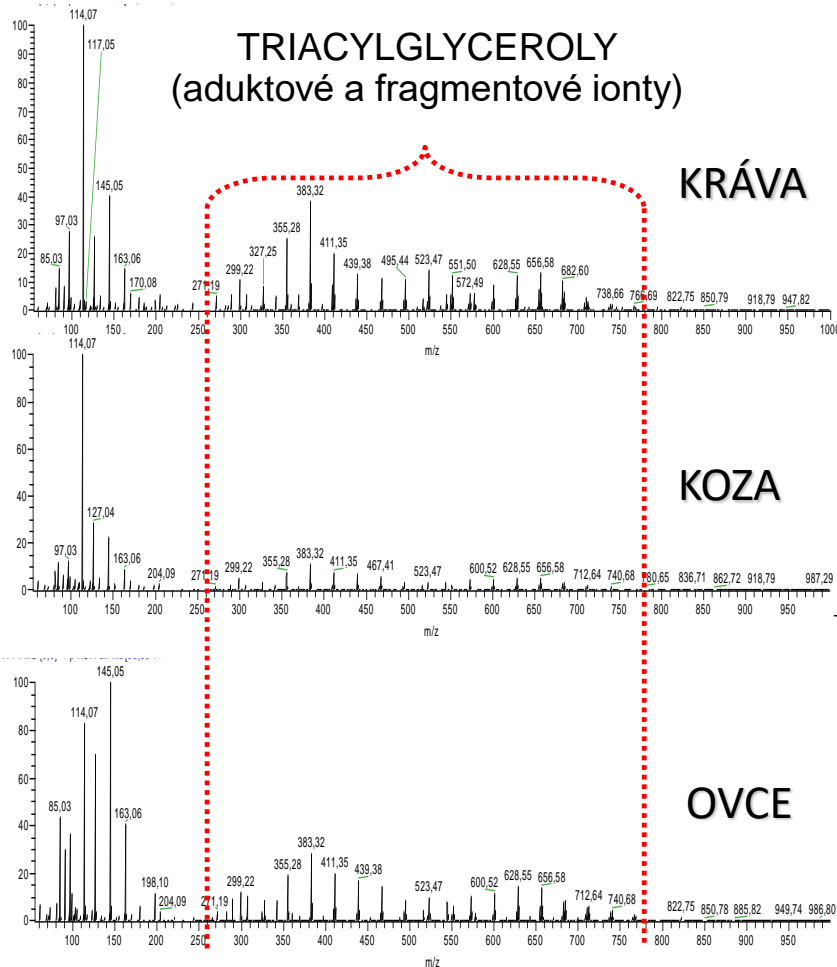
Kvantifikace: IS

Chemometrie

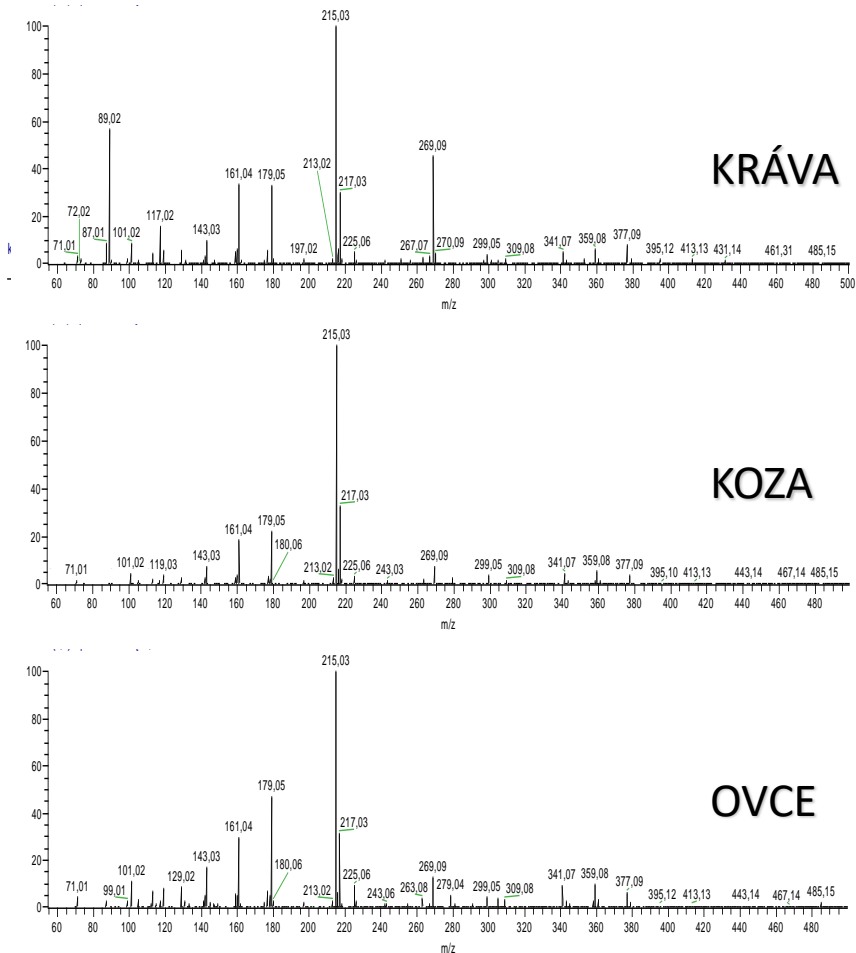


DART – TOFMS metabolické profily

DART[+] NAŘEDĚNÉ MLÉKO



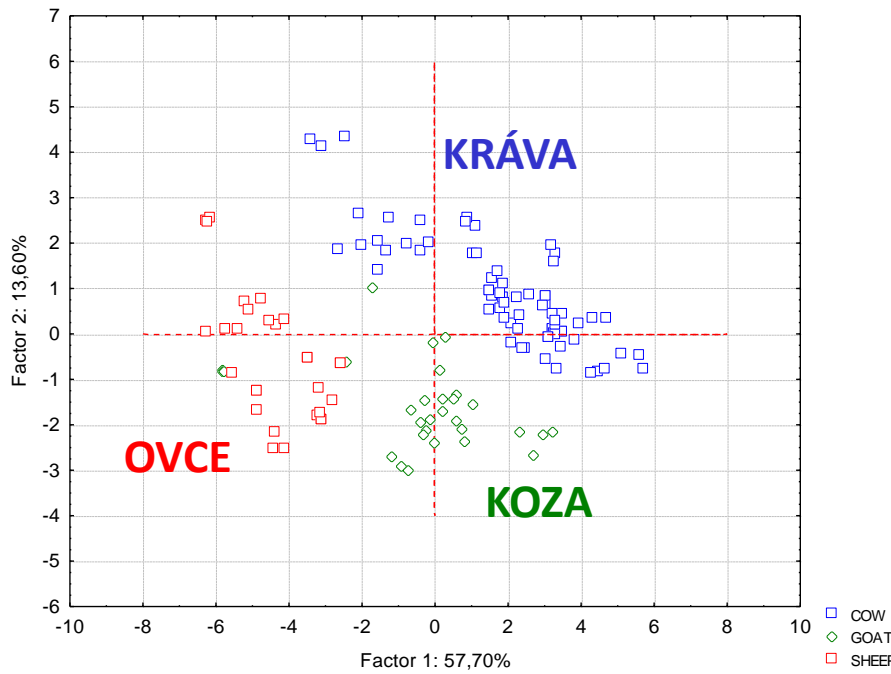
DART[–] NAŘEDĚNÉ MLÉKO



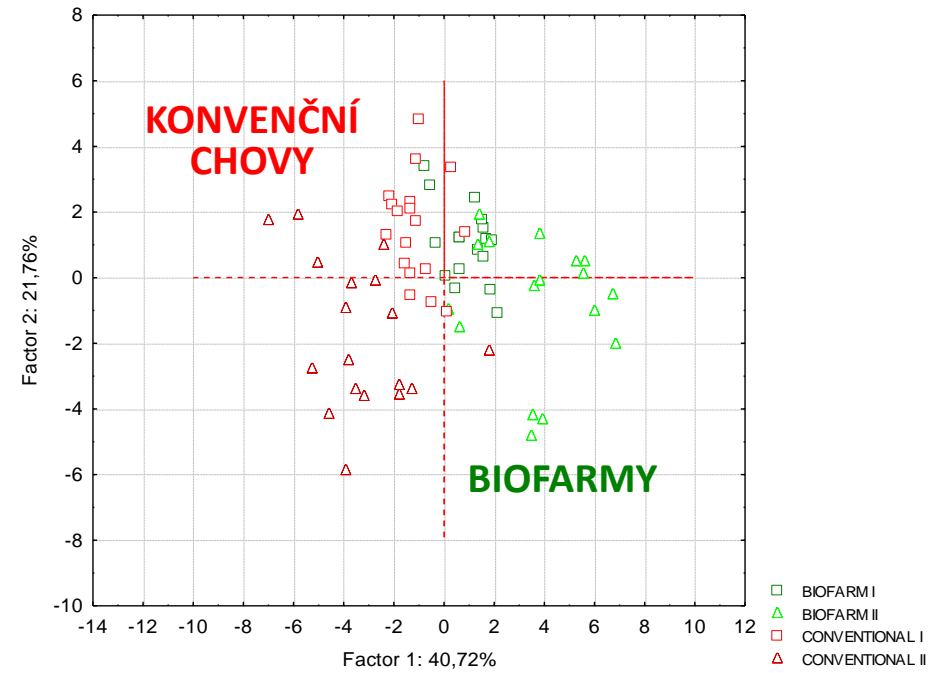
Statistické zpracování dat

CHEMOMETRICKÁ ANALÝZA – ANALÝZA HLAVNÍCH KOMPONENT

NAŘEDĚNÉ MLÉKO DART[+]
- 18 IONTŮ (PROMĚNNÝCH)



KRAVSKÉ MLÉKO (extrakt) DART[+]
- 22 IONTŮ (PROMĚNNÝCH)



DART–TOFMS: Charakteristické látky metabolomu masa (vodný extrakt)

Sloučeniny detekované v pozitivním módu ionizace

Analyt	Elementární složení	[M+H] ⁺
Glycin	C2H5NO2	76,0399
Kadaverin	C5H14N2	103,1235
Kyselina γ -aminomáselná	C4H9NO2	104,0712
Histamin	C5H9N3	112,0875
Kreatinin	C4H7N3O	114,0667
Prolin	C5H9NO2	116,0712
Threonin	C4H9NO3	120,0661
Nikotinamid	C6H6N2O	123,0558
Skatol	C9H9N	132,0813
Hypoxanthin	C5H4N4O	137,0463
Spermidin	C7H19N3	146,1657
Methionin	C5H11NO2S	150,0589
Histidin	C6H9N3O2	156,0773
Karnosin	C9H14N4O3	227,1144
Anserin	C10H16N4O3	241,1301

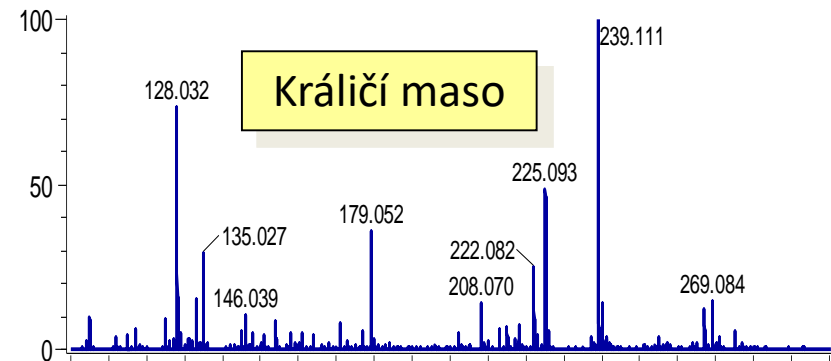
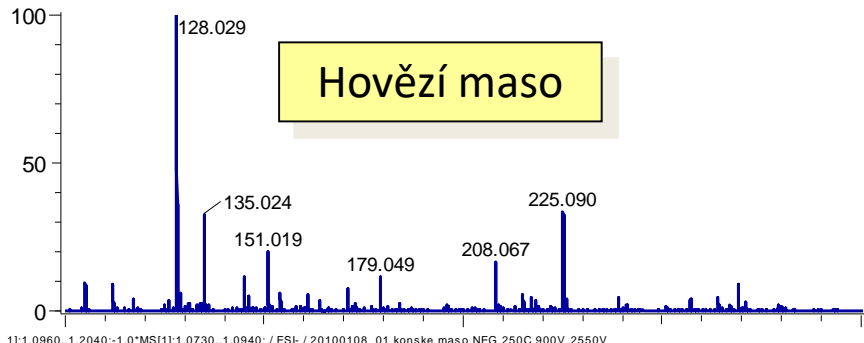
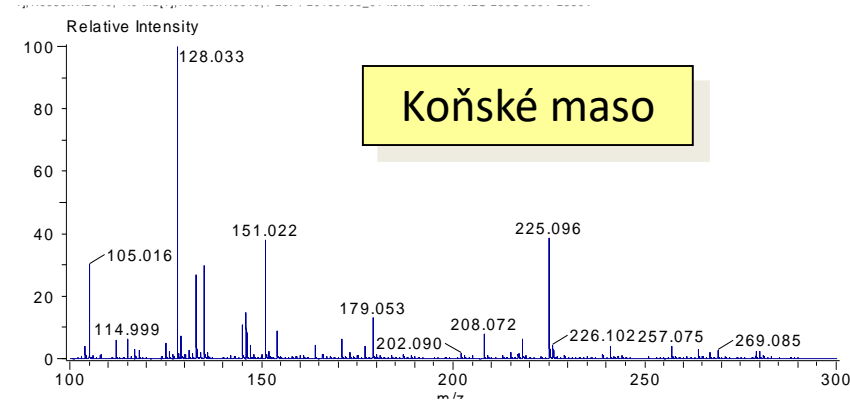
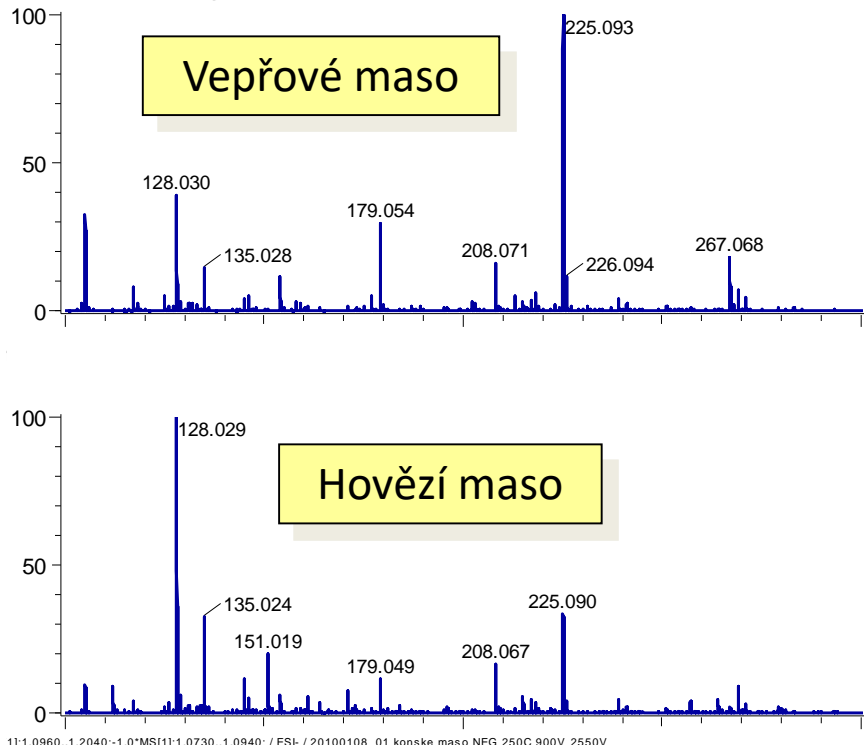
Sloučeniny detekované v negativním módu ionizace

Analyt	Elementární složení	[M-H] ⁻
Kyselina mléčná	C3H6O3	89,0239
Kyselina glycerová	C3H6O4	105,0188
Kreatinin	C4H7N3O	112,0511
Kyselina jantarová	C4H6O4	117,0188
5-Oxoprolin	C5H7NO3	128,0348
Hypoxanthin	C5H4N4O	135,0307
Glutamin	C5H10N2O3	145,0613
Kyselina glutamová	C5H9NO4	146,0453
Xanthin	C5H4N4O2	151,0256
Glukosa	C6H12O6	179,0556
Karnosin	C9H14N4O3	225,0988
Anserin	C10H16N4O3	239,1144
6-Hydroxyl-1,6-dihydropurin ribonukleosid	C10H14N4O5	269,0886



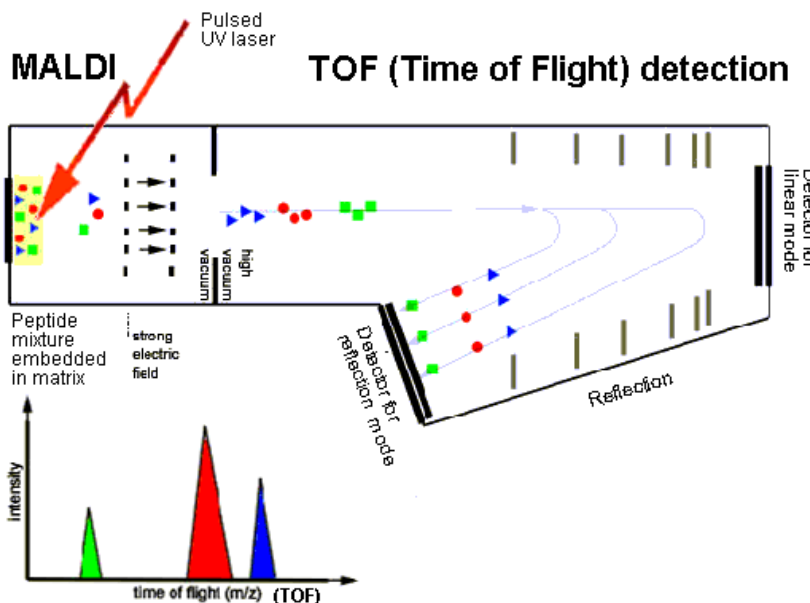
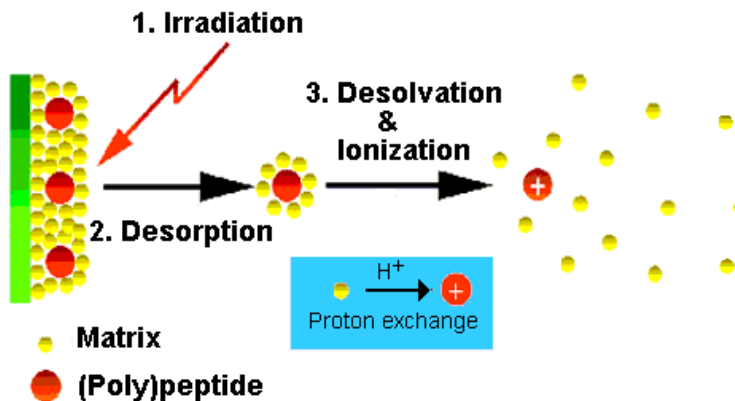
DART–TOFMS: Porovnání metabolomu různých druhů masa

Negativní mód ionizace



PŘÍMÁ HMOTNOSTNÍ SPEKTROMETRIE – MALDI/TOF

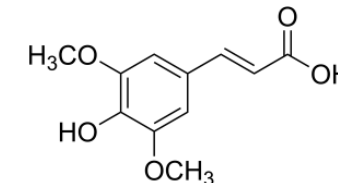
MALDI (Matrix Assisted Laser Desorption Ionization)



Vhodné matrice

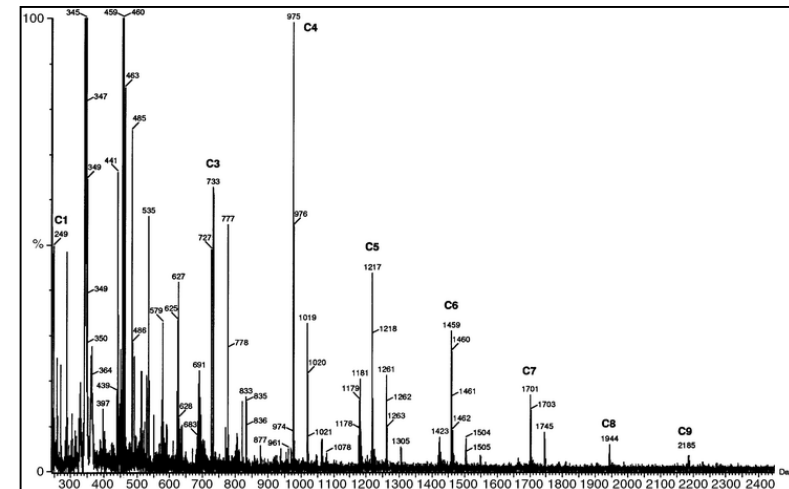
- absorbují záření použitého laseru

2,5-dihydroxybenzoová k. nebo sinapová k.
(promíchání nebo převrstvení)



UV: (N_2 laser - 337 nm; Nd:YAG laser 355 nm)

IČ: (Er:YAG laser - 2940 nm)

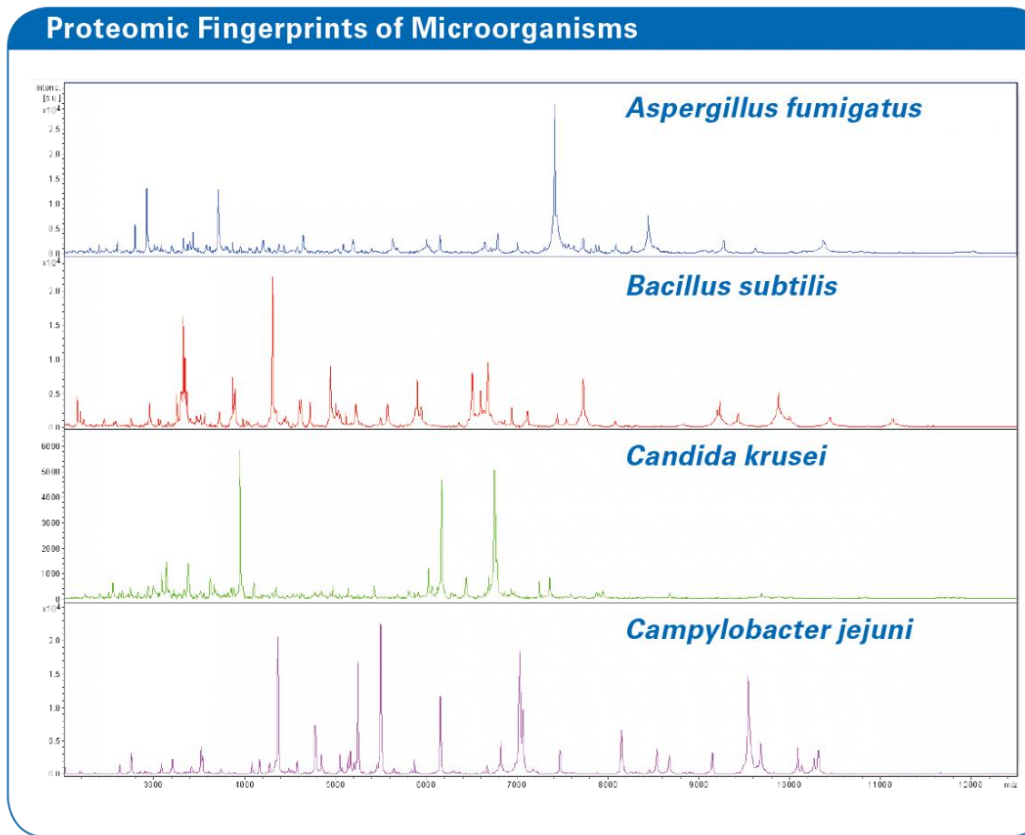


PŘÍMÁ HMOTNOSTNÍ SPEKTROMETRIE – MALDI/TOF

Příklad aplikace: rychlá detekce toxinů, bakterií - proteomické fingerprints

Spektrální a profilové databáze - rychlý komparační algoritmus

Nenahrazuje plně alternativní metody (kultivace, PCR)



Porovnání syrového a homogenizovaného mléka

- 20 °C – temperace mléka
- 2 ml + 43 ml water (deioniz. Millipore)
 - + 15 mL 10% CuCl₂
- 100 rpm for 30 min
- 6 ml - krystalizace

Eur Food Res Technol (2009) 229:175–178
DOI 10.1007/s00217-009-1039-7

SHORT COMMUNICATION

First tests of standardized biocrystallization on milk and milk products

Johannes Kahl · Nicolaas Busscher · Paul Doesburg · Gaby Mergardt · Machteld Huber · Angelika Ploeger



FTIR - infračervená spektrometrie s Fourierovou transformací



Food Chemistry 190 (2016) 1109–1115

Contents lists available at ScienceDirect

Food Chemistry

journal homepage: www.elsevier.com/locate/foodchem

Analytical Methods

An evaluation of Fourier transforms infrared spectroscopy method for the classification and discrimination of bovine, porcine and fish gelatins

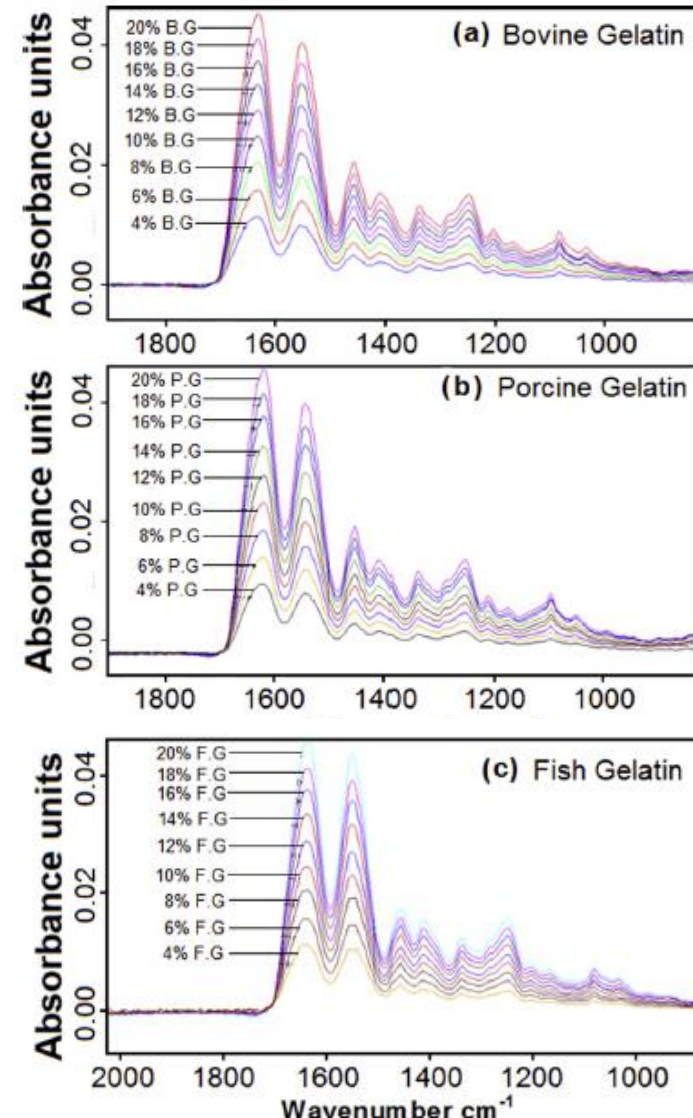
Nur Cebi, M. Zeki Durak *, Omer Said Toker, Osman Sagdic, Muhammet Arici

Yildiz Technical University, Chemical and Metallurgical Engineering Faculty, Food Engineering Department, 34210 Istanbul, Turkey

Porovnání spekter želatiny

- ATR technika
- roztoky ve vodě (různé %)
- rozsah specifického spektra

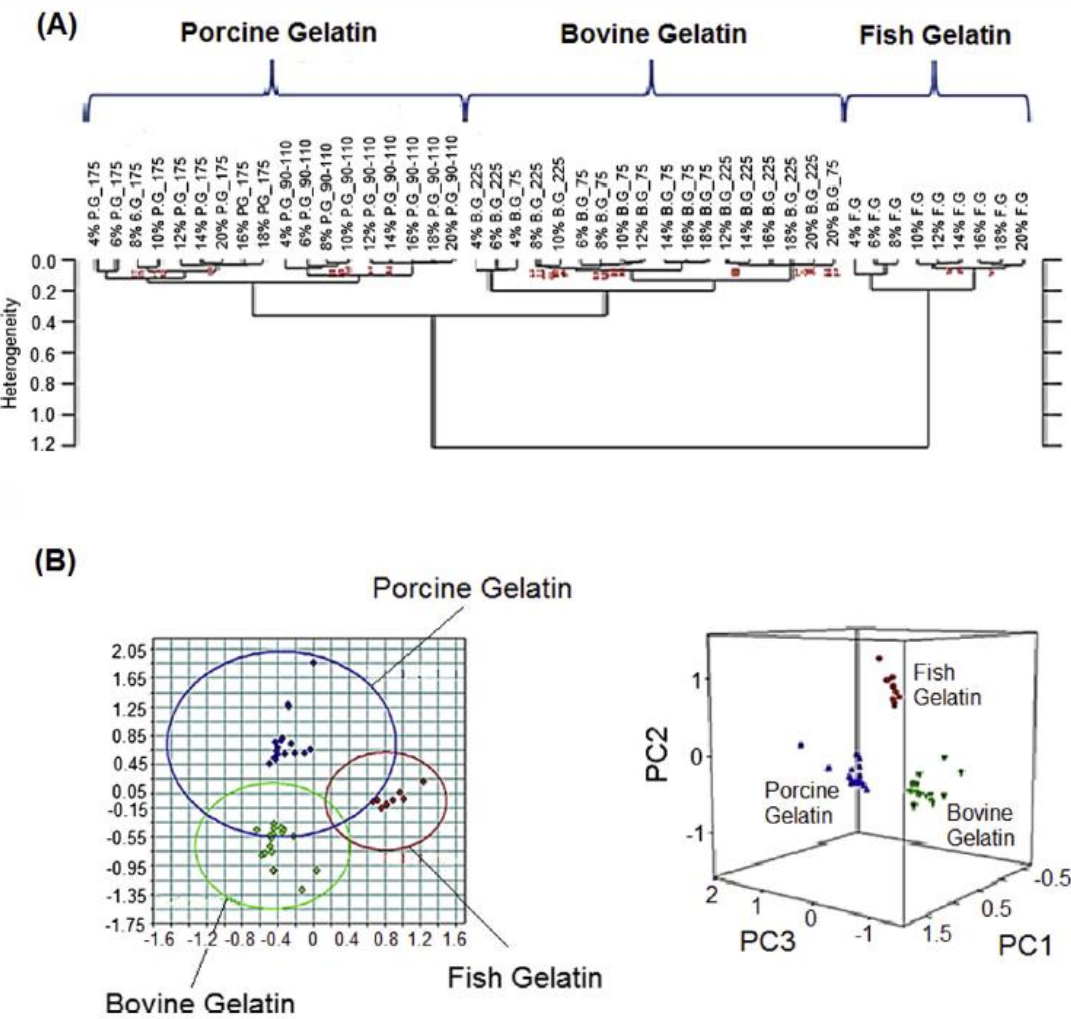
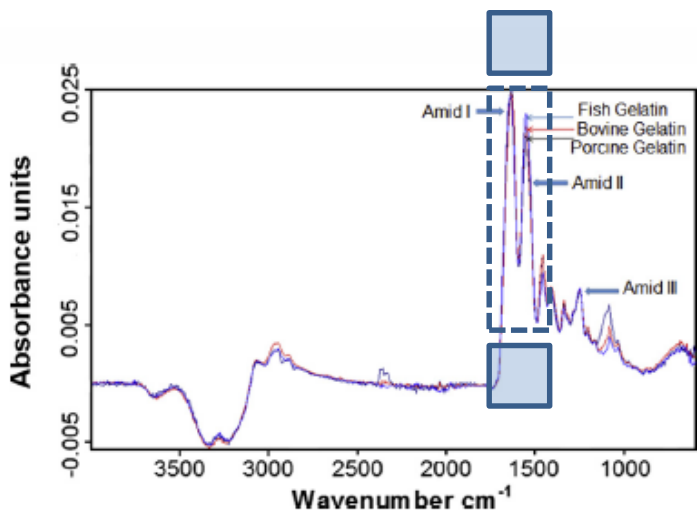
2000 - 600 cm⁻¹



FTIR - infračervená spektrometrie s Fourierovou transformací

Porovnání původu želatiny

- rozsah specifického spektra pro PCA (1. derivace):
1722 - 1487 cm⁻¹



NMR - nukleární magnetická rezonance

Food Research International 75 (2015) 106–114



Contents lists available at ScienceDirect

Food Research International

journal homepage: www.elsevier.com/locate/foodres

NMR fingerprinting as a tool to evaluate post-harvest time-related changes of peaches, tomatoes and plums

Claudio Santucci ^a, Leonardo Tenori ^b, Claudio Luchinat ^{a,*}

^a Magnetic Resonance Center (CERM), University of Florence, Via Luigi Sacconi, 6, 50019 Sesto Fiorentino, Italy

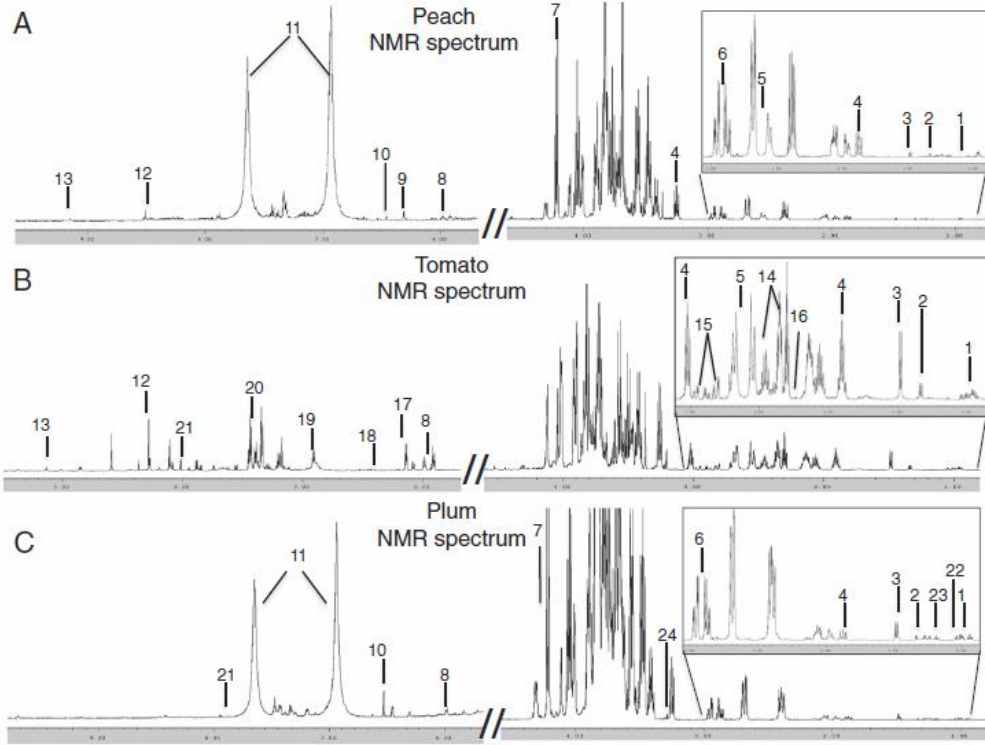
^b FiorGen Foundation, Via Luigi Sacconi, 6, 50019 Sesto Fiorentino, Italy

Měření NMR spekter - fingerprintů

- ovoce - oloupané a rozmixované + pufry + odstředění
- změny v závislosti na době skladování → odhad doby skladovatelnosti
- NMR spectrum - pulsní technika se supresí píku vody



NMR - nukleární magnetická rezonance



1H-NMR spektra: broskev - A; rajské jablko - B a švestka - C.

1, Leu, Ile, Val; 2, Lactate; 3, Ala; 4, GABA; 5, Citrate; 6, Asn; 7, Sucrose; 8, UDPG and Uridine; 9, Flavonoids; 10, Fumarate; 11, Polyphenols; 12, Formate; 13, Trigonelline; 14, Glu and Gln; 15, Asp and Asn; 16, Succinate; 17, ATP; 18, Ferulate; 19, Tyr; 20, Trp; 21, UDP; 22, α -ketobutyrate; 23, Ethanol; and 24, Methanol.

Trend of the assigned metabolites along the collections of peaches, tomatoes and plums.

	Peaches		Tomatoes		Plums	
	Trend LP ^a	Trend LSD ^b	Trend LP	Trend LSD	Trend LP	Trend LSD
Alanine	↑ ^c	↓ ^d	↑ ^e	↑	↑	↑
Asparagine	↑	V ^f	↑	/	/	↑
Aspartate	/ ^g	/	↑	↑	/	/
ATP	/	/	↓	↑	/	/
Choline	↑	V	↓	↑	V	↑
Citrate	/	/	↑	↑	/	/
Ethanol	↑	V	↑	↑	↑	↑
Ferulate	/	/	↑	↑	/	/
Flavonoids	↑	↑	/	/	V	↑
Formate	/	/	↓	↓	/	/
Fucose	↑	↑	/	/	↑	↑
Fumarate	↑	↓	↑	V	↑	↑
GABA	↑	V	↑	↑	↑	↑
Galactonurate	↑	↑	V	↑	S ^h	↑
Glutamine	/	/	↓	↑	/	/
Isoleucine	/	/	↓	↑	/	/
Lactate	↑	V	↓	↑	↑	↑
Methanol	↑	↑	↓	↓	↑	↑
Polyphenolics	↓	V	/	/	↑	↑
Succinate	/	/	↑	↑	/	/
Sucrose	V	V	↑	↑	↑	↑
Trigonelline	V	↑	↓	↑	/	/
Tryptophan	↑	↑	↓	↑	/	/
Tyrosine	V	↑	↓	↑	/	/
UDP	↑	V	↑	↑	↑	↑
UDPG	↑	V	V	↑	↑	↑
Uridine	V	↑	↑	↑	V	V
Valine	↑	V	V	↑	↑	↑
α -Ketobutyric acid	/	/	/	/	↑	↑

^a LP = local products.

^b LSD = large-scale distribution.

^c ↑ = higher in the second collection with respect to the first and the third.

^d ↓ = decrease along the collections.

^e ↑ = increase along the collections.

^f V = lower in the second collection with respect to the first and the third.

^g / = not assigned in the NMR spectra.

^h S = stable along the collections.

